

УДК 677.053

**УТОЧНЕНИЕ РЕШЕНИЯ ПРИБЛИЖЕННОЙ
МАТЕМАТИЧЕСКОЙ МОДЕЛИ БАЛЛОНИРОВАНИЯ НИТИ**

В.Л. МАХОВЕР, А.Б. БРУТ-БРУЛЯКО

**(Ивановская государственная текстильная академия,
Костромской государственный технологический университет)**

В результате действия ряда сил: тяжести, сопротивления воздуха, инерции и Кориолиса баллонирующая нить при своем движении принимает форму линии двоякой кривизны. Одним из вариантов упрощения задачи о баллонировании нити является сведение математической модели баллона к задаче вращения нити вокруг неподвижной оси (рис. 1).

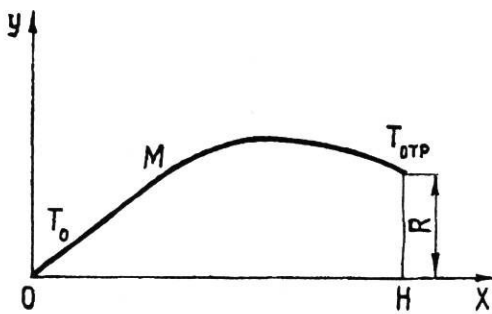


Рис. 1

Считая баллон плоским, без учета сил тяжести, Кориолиса и сопротивления воздуха можно получить приближенную математическую модель процесса баллонирования нити [1]:

$$\frac{d}{ds} \left(T \frac{dx}{ds} \right) = 0; \quad \frac{d}{ds} \left(T \frac{dy}{ds} \right) = -\mu\omega^2 y, \quad (1)$$

где T – натяжение нити в произвольной точке M (рис. 1), H ; s – дуговая координата точки M по контуру баллона, отсчитываемая от начала координат, м; μ – масса единицы длины нити, кг/м; ω – угловая скорость вращения нити относительно оси Ox , c^{-1} .

Из первого уравнения (1) имеем:

$$T \frac{dx}{ds} = c_1 \text{ или } T \frac{dx}{\sqrt{1+y'^2} dx} = c_1, \quad (2)$$

где c_1 – произвольная постоянная, $y' = dy/dx$.

Из (2) следует, что

$$T = c_1 \sqrt{1+y'^2}. \quad (3)$$

После подстановки (3) во второе уравнение (1) и соответствующих сокращений, с учетом того, что $ds = \sqrt{1+y'^2} dx$, найдем:

$$\frac{d}{dx} (c_1 y') = -\mu\omega^2 y \sqrt{1+y'^2}. \quad (4)$$

Отсюда:

$$y'' = -\frac{\mu\omega^2}{c_1} y \sqrt{1+y'^2}. \quad (5)$$

Нелинейное дифференциальное уравнение (5) второго порядка определяет форму нити $y = y(x)$. Известно решение [1] данного уравнения при ограничении $y'^2 \ll 1$. Решим уравнение (5) без указанного допущения.

Понизим порядок уравнения, приняв $y' = V$, $y'' = \frac{dV}{dy} \frac{dy}{dx} = V \frac{dV}{dy}$.

Подставив принятые обозначения в (5) и разделив переменные, найдем

$$\frac{d(V^2)}{2\sqrt{1+V^2}} = -\frac{\mu\omega^2}{c_1} y dy. \quad (6)$$

После интегрирования получим:

$$\sqrt{1+V^2} = c_2 - \frac{\mu\omega^2 y^2}{2c_1},$$

где c_2 – постоянная интегрирования.

Так как $V=dy/dx$, из последнего выражения будем иметь:

$$\frac{dy}{dx} = \sqrt{\left(c_2 - \frac{\mu\omega^2}{2c_1} y^2\right)^2 - 1}. \quad (7)$$

Поскольку $y(0)=0$ (рис. 1), из (7) находим

$$\left.\frac{dy}{dx}\right|_{x=0} = \sqrt{c_2^2 - 1}. \quad (8)$$

Из (3):

$$T_{x=0} = T_0 = c_1 \sqrt{1+y'^2}|_{x=0}, \quad (9)$$

где T_0 – натяжение нити в вершине баллона (рис. 1).

С учетом выражения (8) из (9) получим:

$$T_0 = c_1 \sqrt{1+c_2^2 - 1} = c_1 c_2. \quad (10)$$

Выразив из (10) $c_2 = T_0/c_1$ и подставив это значение в (7), будем иметь:

$$\frac{dy}{dx} = \sqrt{\left(\frac{T_0}{c_1} - \frac{\mu\omega^2}{2c_1} y^2\right)^2 - 1}. \quad (11)$$

После несложных преобразований подкоренное выражение этого уравнения приводится к виду:

$$\left(\frac{T_0}{c_1} - \frac{\mu\omega^2}{2c_1} y^2\right)^2 - 1 = \frac{(T_0^2 - c_1^2)}{c_1^2} \left[1 - \frac{\mu\omega^2 y^2}{2(T_0 - c_1)}\right] \left[1 - \frac{\mu\omega^2 y^2}{2(T_0 + c_1)}\right]. \quad (12)$$

Из уравнений (11) и (12) получаем

$$\int_0^y \frac{dy}{\sqrt{\left[1 - \frac{\mu\omega^2 y^2}{2(T_0 - c_1)}\right] \left[1 - \frac{\mu\omega^2 y^2}{2(T_0 + c_1)}\right]}} = \frac{\sqrt{T_0^2 - c_1^2}}{c_1} \int_0^x dx, \quad (13)$$

где пределы интегрирования поставлены из условия, что $y(0)=0$ (рис. 1).

Обозначим:

$$\frac{\sqrt{\mu\omega y}}{\sqrt{2}\sqrt{(T_0 - c_1)}} = z. \quad (14)$$

$$\begin{aligned} dy &= \sqrt{\frac{2}{\mu}} \frac{\sqrt{T_0 - c_1}}{\omega} dz, \\ \frac{\mu\omega^2 y^2}{2(T_0 + c_1)} &= \frac{T_0 - c_1}{T_0 + c_1} z^2 \end{aligned} \quad (15)$$

и уравнение (13) будет

Тогда:

$$\int_0^x \frac{\sqrt{\frac{\mu}{2}} \frac{\omega y}{\sqrt{T_0 - c_1}} \frac{\sqrt{\frac{2}{\mu}} \frac{\sqrt{T_0 - c_1}}{\omega} dz}{\sqrt{(1-z^2) \left(1 - \frac{T_0 - c_1}{T_0 + c_1} z^2\right)}} \frac{\sqrt{T_0^2 - c_1^2}}{c_1} \int_0^x dx. \quad (16)$$

Примем $\sqrt{\frac{T_0 - c_1}{T_0 + c_1}} = k. \quad (17)$

Так как из (9):

$$\frac{T_0}{c_1} = \sqrt{1 + y'^2} \Big|_{x=0} \text{ и } y' \Big|_{x=0} > 0, \text{ то } \frac{T_0}{c_1} > 1 \text{ и } T_0 > c_1.$$

Поэтому $0 < k < 1$.

Из выражения (16) имеем:

$$\int_0^x \frac{\sqrt{\frac{\mu}{2}} \frac{\omega y}{\sqrt{T_0 - c_1}} \frac{dz}{\sqrt{(1-z^2)(1-k^2 z^2)}} \frac{\sqrt{\mu \omega \sqrt{T_0^2 - c_1^2}}}{c_1 \sqrt{2} \sqrt{T_0 - c_1}} \int_0^x dx. \quad (18)$$

Из выражения (17):

$$T_0 + c_1 = T_0 + T_0(1-k^2)/(1+k^2) = 2T_0/(1+k^2), \quad (23)$$

$$c_1 = T_0(1-k^2)/(1+k^2). \quad (19)$$

$$\frac{\sqrt{T_0 + c_1}}{c_1} = \sqrt{\frac{2}{T_0} \frac{\sqrt{1+k^2}}{1-k^2}}.$$

С учетом (19):

$$\begin{aligned} T_0 - c_1 &= T_0 - T_0(1-k^2)/(1+k^2) = \\ &= 2T_0 k^2 / (1+k^2). \end{aligned} \quad (20)$$

Подставив второе выражение (23) в (22), найдем:

$$\sqrt{\frac{\mu}{2}} \omega \frac{\sqrt{T_0 + c_1}}{c_1} = \sqrt{\frac{\mu}{T_0}} \omega \frac{\sqrt{1+k^2}}{1-k^2}. \quad (24)$$

Выразим теперь через k верхний предел в выражении (18):

$$\sqrt{\frac{\mu}{2}} \frac{\omega y}{\sqrt{T_0 - c_1}} = \sqrt{\frac{\mu}{T_0}} \frac{\sqrt{1+k^2}}{k} \frac{\omega y}{2}. \quad (21)$$

Учитывая (21), (22) и (24), выражение (18) примет вид:

Величина перед интегралом правой части (18):

$$\frac{\sqrt{\mu \omega \sqrt{T_0^2 - c_1^2}}}{c_1 \sqrt{2} \sqrt{T_0 - c_1}} = \sqrt{\frac{\mu}{2}} \frac{\sqrt{T_0 + c_1}}{c_1} \omega. \quad (22)$$

$$\begin{aligned} &\sqrt{\frac{\mu}{T_0}} \frac{\sqrt{1+k^2}}{k} \frac{\omega y}{2} \int_0^x \frac{dz}{\sqrt{(1-z^2)(1-k^2 z^2)}} = \\ &= \sqrt{\frac{\mu}{T_0}} \frac{\sqrt{1+k^2}}{1-k^2} \omega x. \end{aligned} \quad (25)$$

В свою очередь с учетом (19):

Обращая этот эллиптический интеграл, находим:

$$\operatorname{Sn}\left(\sqrt{\frac{\mu}{T_0}} \frac{\sqrt{1+k^2}}{1-k^2} \omega x, k\right) = \sqrt{\frac{\mu}{T_0}} \frac{\sqrt{1+k^2}}{k} \omega \frac{y}{2}, \quad (26)$$

где Sn – символ эллиптической функции Якоби (синус амплитуды) [2]; k – модуль эллиптического интеграла.

Обозначив

$$\sqrt{\frac{\mu}{T_0}} \frac{\sqrt{1+k^2}}{1-k^2} \omega x = U_x, \quad (27)$$

из (26) получаем уравнение баллона:

$$y = \frac{2}{\omega} k \sqrt{\frac{T_0}{\mu(1+k^2)}} \operatorname{Sn}(U_x, k). \quad (28)$$

При $x=0$ из (27) $U_x=0$. Следовательно, в (28) $\operatorname{Sn}(0, k)=0$, то есть уравнение (28) удовлетворяет первому граничному условию $y(0)=0$ (рис. 1). Для того, чтобы удовлетворить второму граничному условию $y(H)=R$, где R – радиус баллона в точке отрыва нити от паковки, а H – высота баллона (рис.1), положим в (28) $y=R$, $U_x=U_H$, где $U_H=U_x$ при $x=H$.

Тогда

$$T = \frac{T_0}{1+k^2} \sqrt{(1-k^2)^2 + 4k^2 \operatorname{Cn}^2(U_x, k) \operatorname{dn}^2(U_x, k)}. \quad (33)$$

Отсюда натяжение нити в точке отрыва ее от паковки (рис.1):

$$T_{\text{отр}} = \frac{T_0}{1+k^2} \sqrt{(1-k^2)^2 + 4k^2 \operatorname{Cn}^2(U_H, k) \operatorname{dn}^2(U_H, k)}. \quad (34)$$

В качестве примера применения полученных зависимостей принимаем [3, с.133]: $\mu = 0,42 \cdot 10^{-4}$ кг/м; $T_0 = 0,052$ Н; $\omega = 700$ с⁻¹; $H = 0,1$ м; $R = 0,01$ м. По формулам (31) и (27) находим $v = 0,0995$ и

$$U_H = 1,9894 \sqrt{1+k^2} / \sqrt{1-k^2}. \quad (35)$$

$$\frac{2}{\omega} k \sqrt{\frac{T_0}{\mu(1+k^2)}} \operatorname{Sn}(U_H, k) = R \quad (29)$$

и второе граничное условие можно записать в виде:

$$\operatorname{Sn}(U_H, k) = v \frac{\sqrt{1+k^2}}{k}, \quad (30)$$

где

$$v = \sqrt{\frac{\mu}{T_0}} \frac{\omega}{2} R. \quad (31)$$

Уравнение (30), где $U_H = U_H(k)$, служит условием для определения модуля k .

Найдем выражение для натяжения T баллонизирующей нити.

Из (28) получаем

$$y' = \frac{2k}{1-k^2} \operatorname{Cn}(U_x, k) \operatorname{dn}(U_x, k), \quad (32)$$

где $\operatorname{Cn}(U_x, k)$, $\operatorname{dn}(U_x, k)$ – соответствующие эллиптические функции Якоби [2].

Подставив это выражение и формулу (19) в (3), находим натяжение нити в баллоне:

В уравнении (30) обозначим

$$\begin{aligned} v \sqrt{1+k^2} / k &= 0,0995 \sqrt{1+k^2} / k = f_1, \\ \operatorname{Sn}(U_H, k) &= f_2. \end{aligned} \quad (36)$$

Расчеты по формулам (35) и (36) с применением табл. 1 и 3 приложения [2] приведены в табл. 1.

Таблица 1

θ_i , град	5	10	20	30	32	34	36	40	50
$k_i = \sin \theta_i$	0,0872	0,1736	0,3420	0,5000	0,5299	0,5592	0,5878	0,6428	0,7660
f_1	1,1456	0,5814	0,3074	0,2224	0,2125	0,2038	0,1963	0,1840	0,1636
U_{Hi}	2,0122	2,0819	2,3810	2,9656	3,1305	3,3164	3,5258	4,0300	6,0652
K_i	1,5738	1,5828	1,6200	1,6857	1,7028	1,7214	1,7415	1,7868	1,9356
φ_i , град	64,97	61,80	48,61	23,10	15,71	7,24	2,45	-25,27	-80,42
$f_2 = \sin \varphi_i$	0,9061	0,8813	0,7502	0,3923	0,2708	0,1260	-0,0428	-0,4268	-0,9860
θ_i , град	52	54	56	60	65	70	75	80	85
$k_i = \sin \theta_i$	0,7880	0,8090	0,8290	0,8660	0,9063	0,9397	0,9658	0,9848	0,9962
f_1	0,1608	0,1582	0,1559	0,1519	0,1482	0,1452	0,1432	0,1418	0,1410
U_{Hi}	6,6819	7,4060	8,2623	10,5264	15,0311	23,3360	41,2589	92,5498	370,188
K_i	1,9728	2,0133	2,0570	2,1565	2,3088	2,5045	2,7680	3,1534	3,8317
φ_i , град	61,50	35,53	1,95	82,60	57,86	72,94	86,07	76,78	79,50
$f_2 = \sin \varphi_i$	-0,8788	-0,5812	0,0340	0,9916	-0,8467	0,9560	-0,9976	0,9735	0,9832

Примечание. В расчетах использованы формулы приведения: $\text{Sn}U_H = \text{Sn}(2K - U_H)$, $\text{Sn}U_H = \text{Sn}(2K - m4K)$, $m = 1, 2, \dots$, где K – полный эллиптический интеграл первого рода [2].

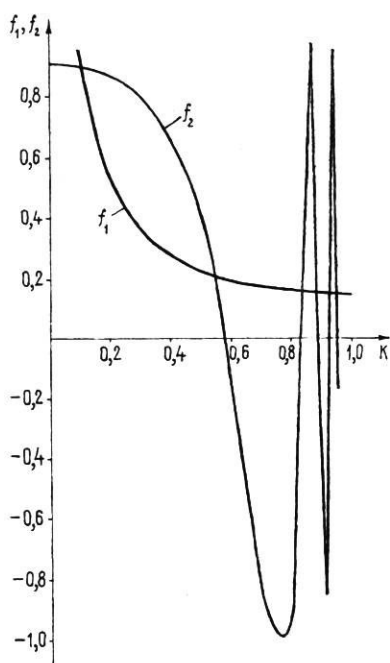


Рис. 2

По данным табл. 1 на рис. 2 построены графики функций $f_1(k)$ и $f_2(k)$. Согласно условию (30) точки пересечения этих графиков дают несколько значений параметра k . Первые из них будут: $k_1 = 0,110$; $k_2 = 0,543$; $k_3 = 0,832$.

Наблюдения показывают, что в вершине баллона сматывания производная $y'(0) \leq 1$. Тогда из (9) $(T_0/c_1) \leq \sqrt{2}$ и с учетом (19) найдем $k \leq (\sqrt{2} - 1) = 0,414$. Этому условию удовлетворяет значение $k = 0,110$.

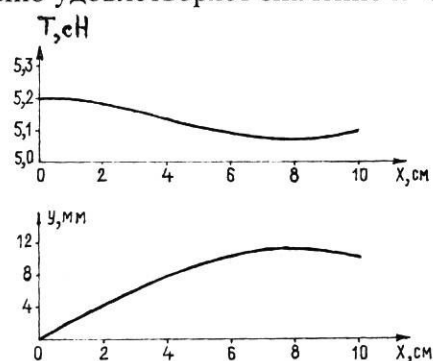


Рис. 3

После подстановки указанного значения параметра k в формулы (28) и (33) и соответствующих расчетов получаем характер изменения формы баллона и натяжения нити, изображенный на рис. 3-а,б. В общем случае число волн в баллоне можно определить по формуле: $n = H / 2K$.

ВЫВОДЫ

Получено точное решение приближенной математической модели процесса баллонирования нити, позволяющее рассчитать форму баллона и натяжение нити в баллоне.

ЛИТЕРАТУРА

1. *Щербаков В.П.* Прикладная механика нити. – М.: МГТУ им. А.Н. Косыгина, 2001.

2. *Сикорский Ю.С.* Элементы теории эллиптических функций с приложениями к механике. – М.: ОНТИ СССР, 1936.

3. *Алешин П.А., Полетаев В.Н.* Лабораторный практикум по ткачеству. – М.: Легкая индустрия, 1979.

Рекомендована кафедрой ткачества ИГТА. Поступила 27.12.04.
